

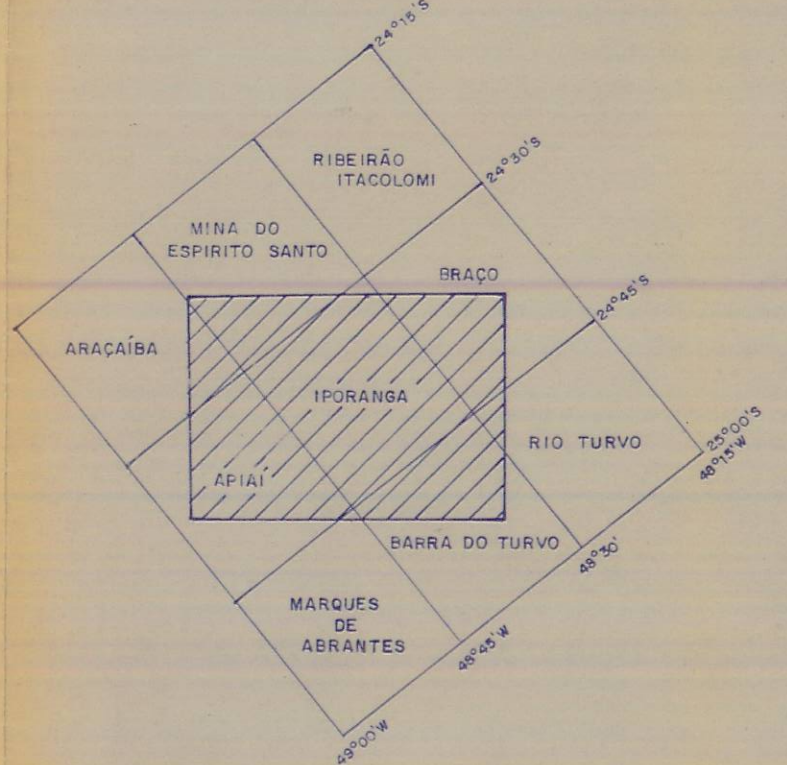
LEGENDA

- Caminhamento executado neste trabalho s/ou em Campano *et al* (1985) (Folhas Iporanga e Gruta do Diabo), Bistrichi *et al* (1985) (Folha Arapóiba), Proaño (1986).
 - - - Caminhamento executado pelo MMA/JICA (1983), compilado e não refletido nos trabalhos citados acima.
 - o Ponto de descrição de afloramento, sem amostragem.
 - Ponto de descrição de afloramento, com amostragem de rochas.
 - ⊙ Ponto de descrição de afloramento, com amostra orientada de rocha.
- ENSAIOS REALIZADOS COM AMOSTRA DO PONTO
- ⊙ Seção delgada
 - ⊙ Petroquímica
 - ⊙ Geomorfologia (Rt/SI)
 - ⊙ Análise de *strata*
- OCORRÊNCIAS DE PONTO
- 19 Folha Iporanga
 - 20 Folha Broço (Gruta do Diabo)
 - 21 Folha Apiaí
 - 22 Folha Arapóiba
 - 23 Folha Mina do Espírito Santo
 - 24 Folha Marquês de Abrantes
 - 25 Folha Barra do Turvo
 - 26 Folha Rio Turvo
 - P Proaño (1986)

LOCALIZAÇÃO DA ÁREA NO ESTADO



ARTICULAÇÃO DAS FOLHAS UTILIZADAS



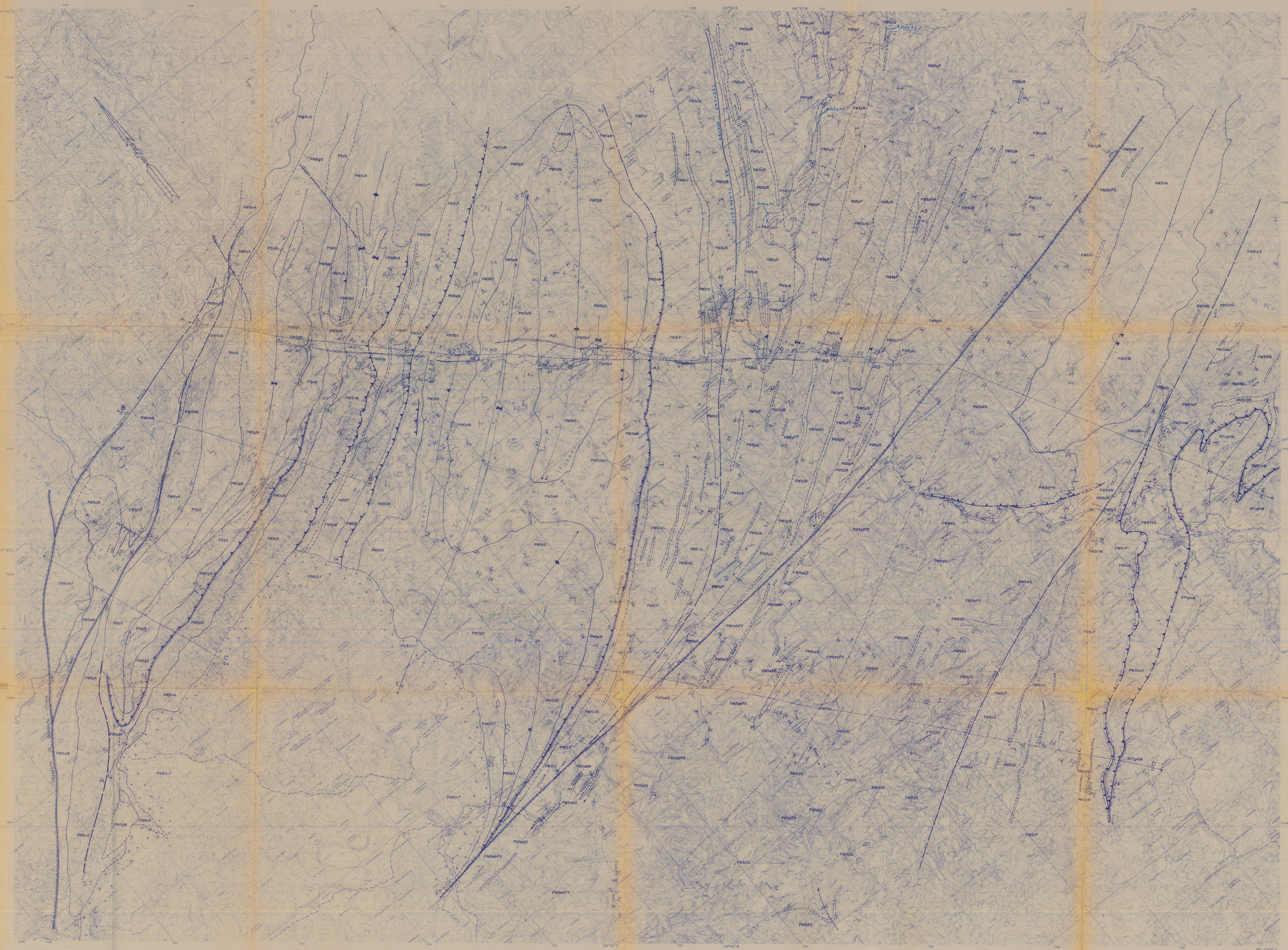
ESCALA 1:50.000



ANEXO 1
 MAPA DE LOCALIZAÇÃO DE CAMINHAMENTOS E
 PONTOS DE DESCRIÇÃO DE AFLORAMENTOS
 TÉCNICA PROTECTORIA NO ALTO E MÉDIO VALE DO RIBEIRÃO,
 ESTADOS DE SÃO PAULO E PARANÁ
 TESE DE DOUTORAMENTO
 SUBMETIDA À ORN C. CAMPANHO

1991





LEGENDA

SINÓPSE DAS UNIDADES LITOLÓGICAS
COBERTURAS SEDIMENTARES NÃO REPRESENTADAS

- JURÁSSICO - CRETÁCEO**
- PROTEROZOICO SUPERIOR - ESPALEOZOICO**
- ROCHAS GRANÍDICAS PÓS-TECTÔNICAS**
- PROTEROZOICO SUPERIOR**
- PROTEROZOICO MÉDIO A SUPERIOR**
- Mármore de Apiaí**
- Xistos do Meru de Ouro**
- Subgrupo Lajeado**
- Formação Gurubá**
- Formação Serra do Boi Vista**
- Formação Mina de Furnas**
- Formação Água Suja**
- Formação Barra da Serra**
- Formação Betari-membro superior**
- Formação Betari-membro inferior**
- Formação Pedra (Faixa Filões do Rio das Pedras)**
- Formação Pedra (Faixa Filões do Rio São Sebastião)**
- Formação Selva (Seqüência Serra dos Andaraí)**
- Formação Selva (Seqüência Turvo-Areado)**
- Complexo Andaraí-Magnético**

CONVENÇÕES GEOLÓGICAS
CONTATOS E FALHAS

- Contato definido
- Contato aproximado
- Contato inferido
- Contato transicional entre associações litológicas
- Falha ou zona de cisalhamento definido, provável
- Falha ou zona de cisalhamento com mergulho baixo ou nulo, definido, provável
- Falha ou zona de cisalhamento com movimentação fraca, corrente ou oblíqua indicada
- Falha ou zona de cisalhamento associada com faixa de deformação larga

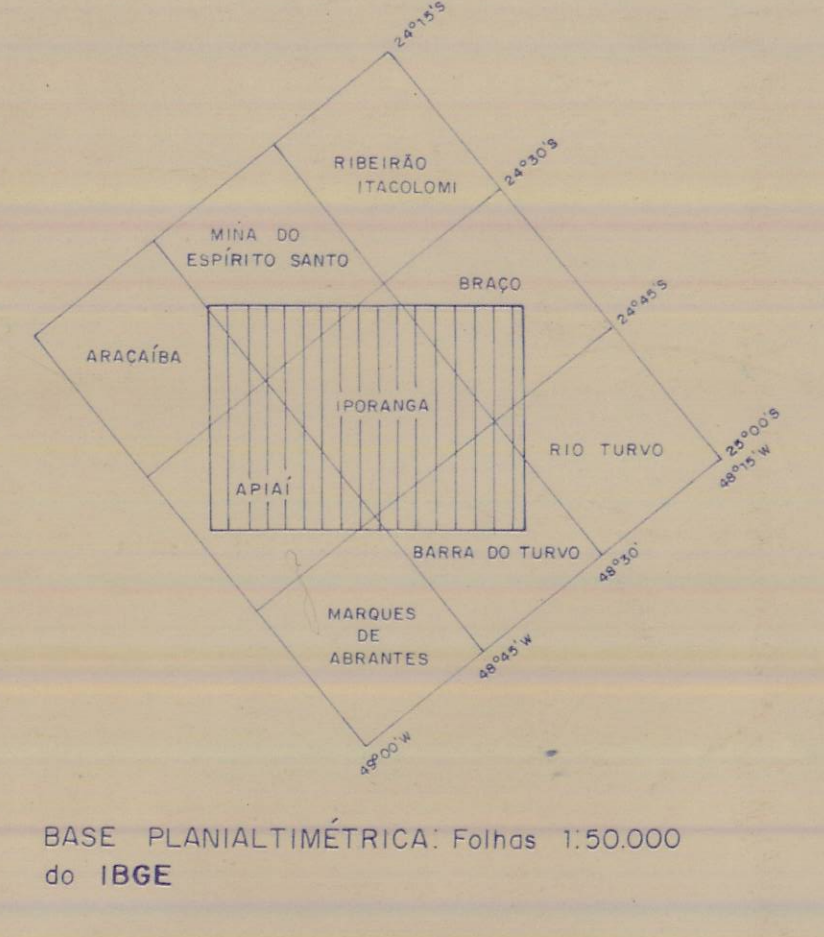
ESTRUTURAS

- Acumamento
- Polaridade estratigráfica (topo das camadas)
- Xistoidade ou clivagem ardosiana
- Xistoidade ou clivagem ardosiana paralela ao substrato de acumamento ou bandamento composicional
- Clivagem de crenulação fina
- Clivagem de crenulação espaçada ou plana axial de xisto
- Lineação de estiramento
- Eixo de dobrar ou lineação de interseção de acumamento com xistoidade ou clivagem ardosiana
- Eixo de dobrar ou lineação de interseção de clivagem de crenulação fina com xistoidade ou clivagem ardosiana
- Eixo de dobrar ou lineação de interseção de clivagem de crenulação espaçada com xistoidade ou clivagem ardosiana

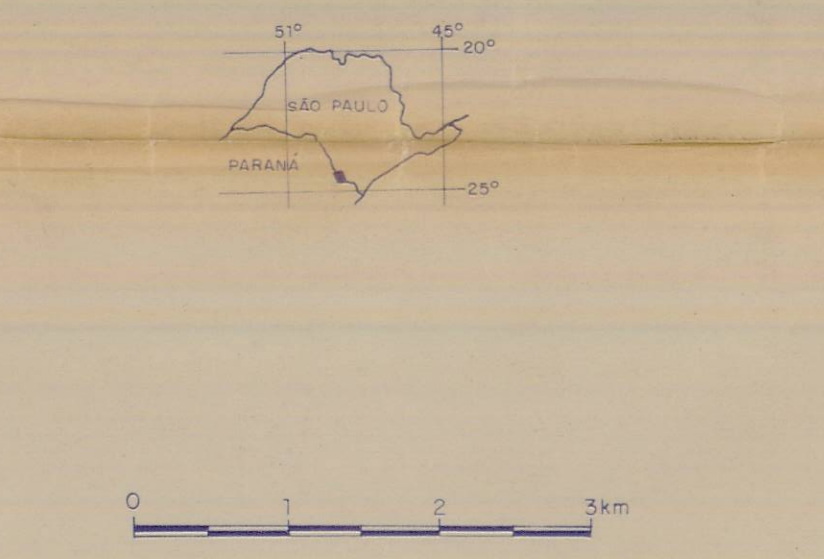
TRACOS AXIAIS DE MACRODOBRAS

- ANTICLINAL SINCLINAL
- Definido
- Inferido
- Com mergulho de superfície axial indicado
- Com cimento de eixo indicado
- De flexão invertido
- Sem polaridade estratigráfica definida (anti-forma, sinforma)

ARTICULAÇÃO DAS FOLHAS UTILIZADAS



BASE PLANALTIMÉTRICA: FOLHAS 1:50.000 DO IBGE

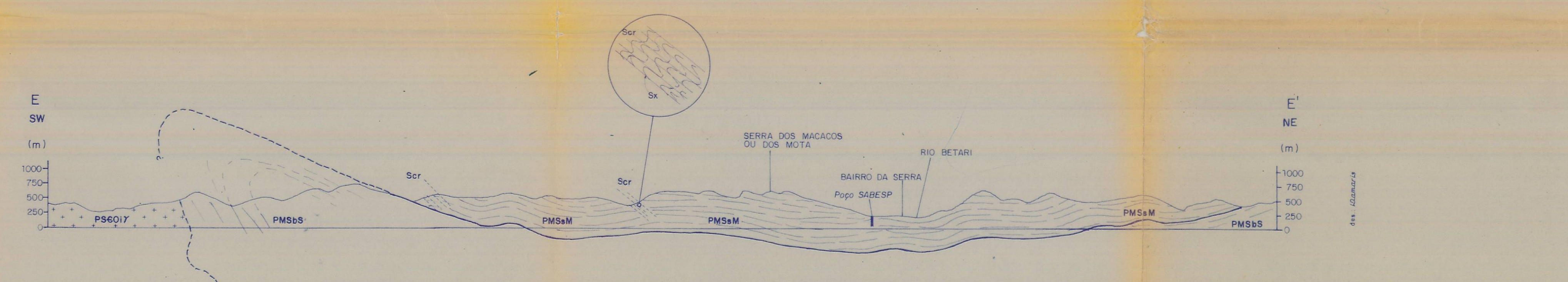
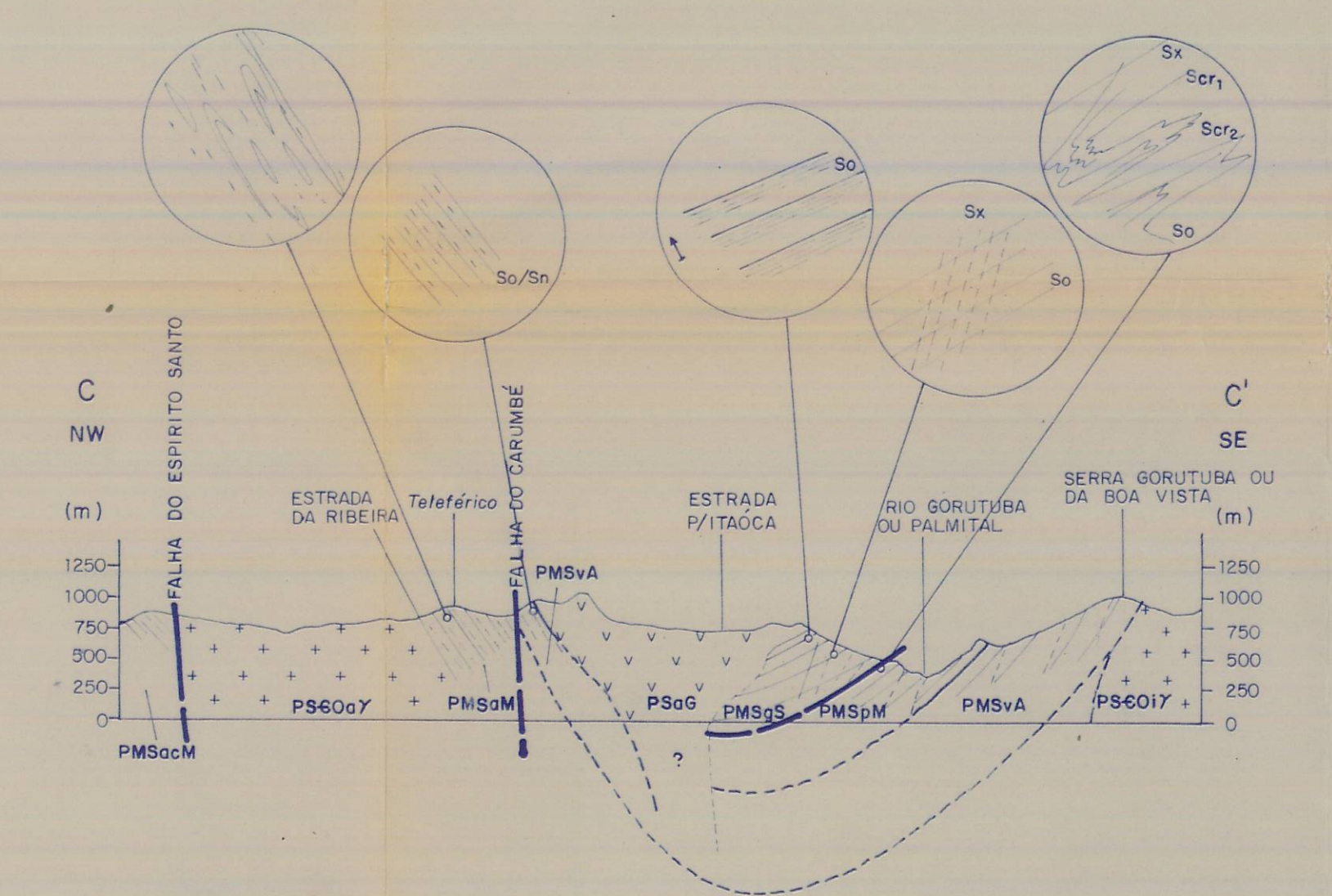
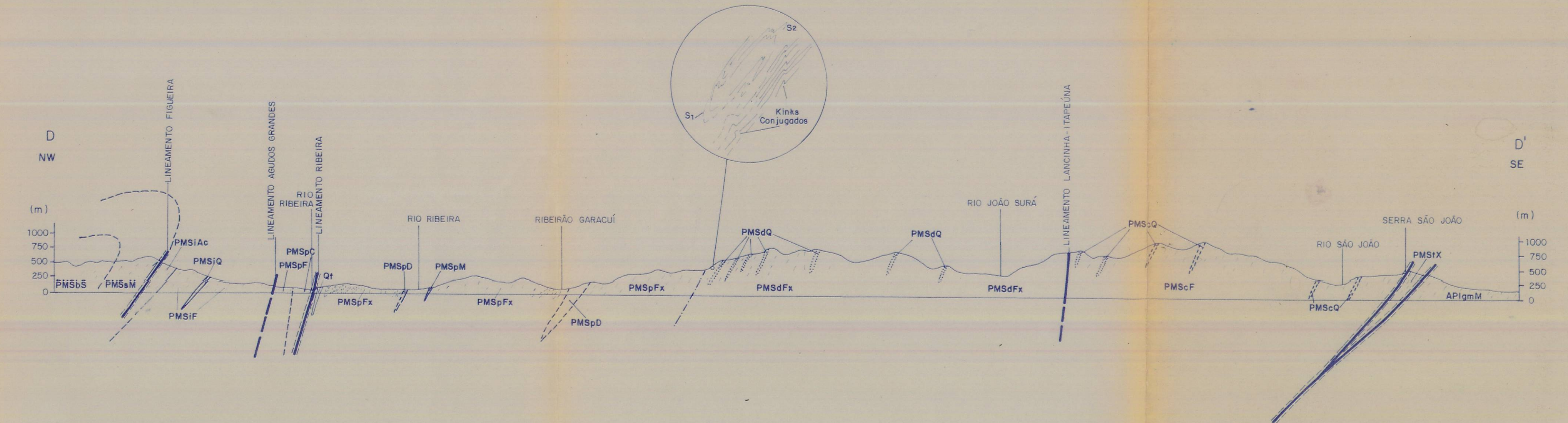
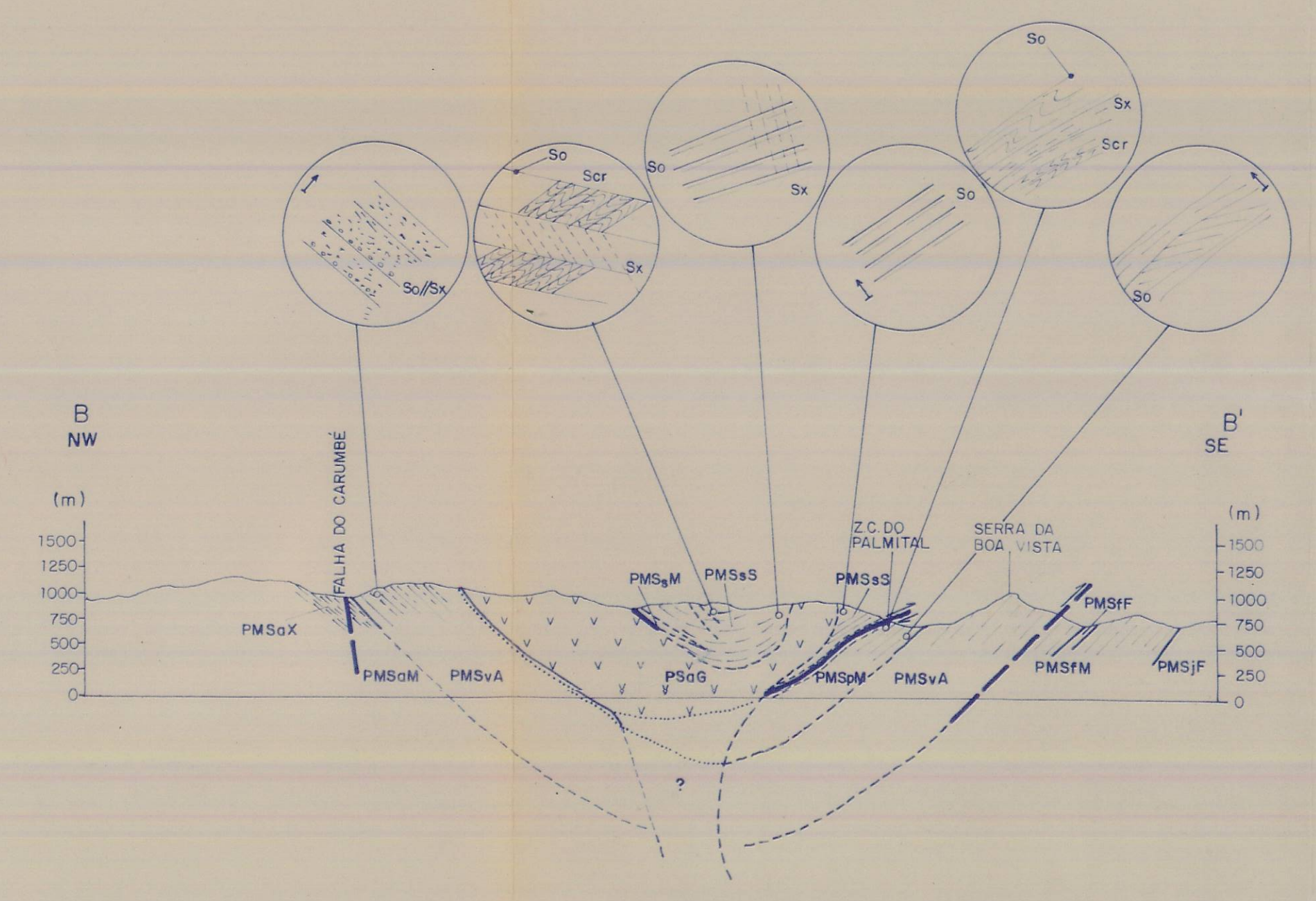
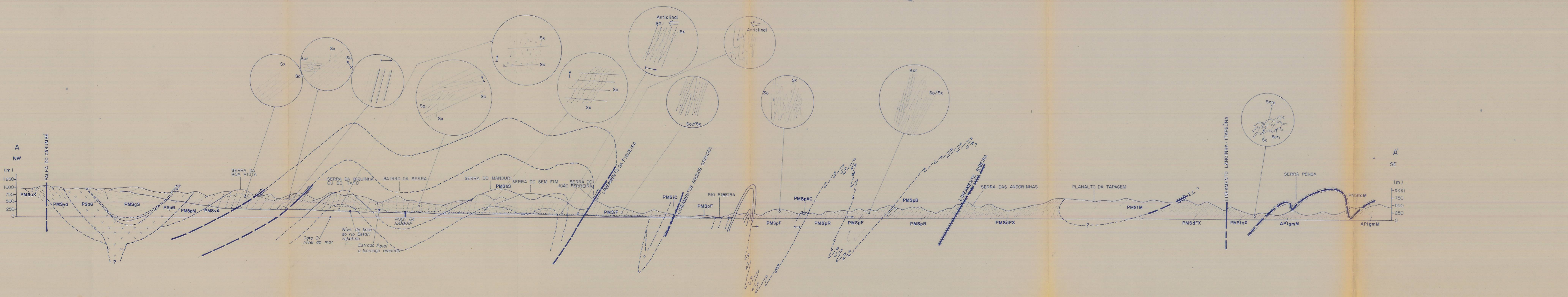


QUADRO DE RELAÇÕES ENTRE AS UNIDADES LITOESTRATIGRÁFICAS

UNIDADES	BLOCO APIAÍ	BLOCO LAJADO	BLOCO RIBEIRA	BLOCO ANDORINHAS	BLOCO COSTEIRO
(PMS) JURÁSSICO A CRETÁCEO					
(PMS) PROTEROZOICO SUPERIOR - ESPALEOZOICO	07	17	07	17	07
(PMS) PROTEROZOICO SUPERIOR	09	09	09	09	09
(PMS) PROTEROZOICO MÉDIO A SUPERIOR	05	05	05	05	05
(PMS) ANOQUILADO PROTEROZOICO INFERIOR					

CONVENÇÕES DA LEGENDA E DO QUADRO DE RELAÇÕES

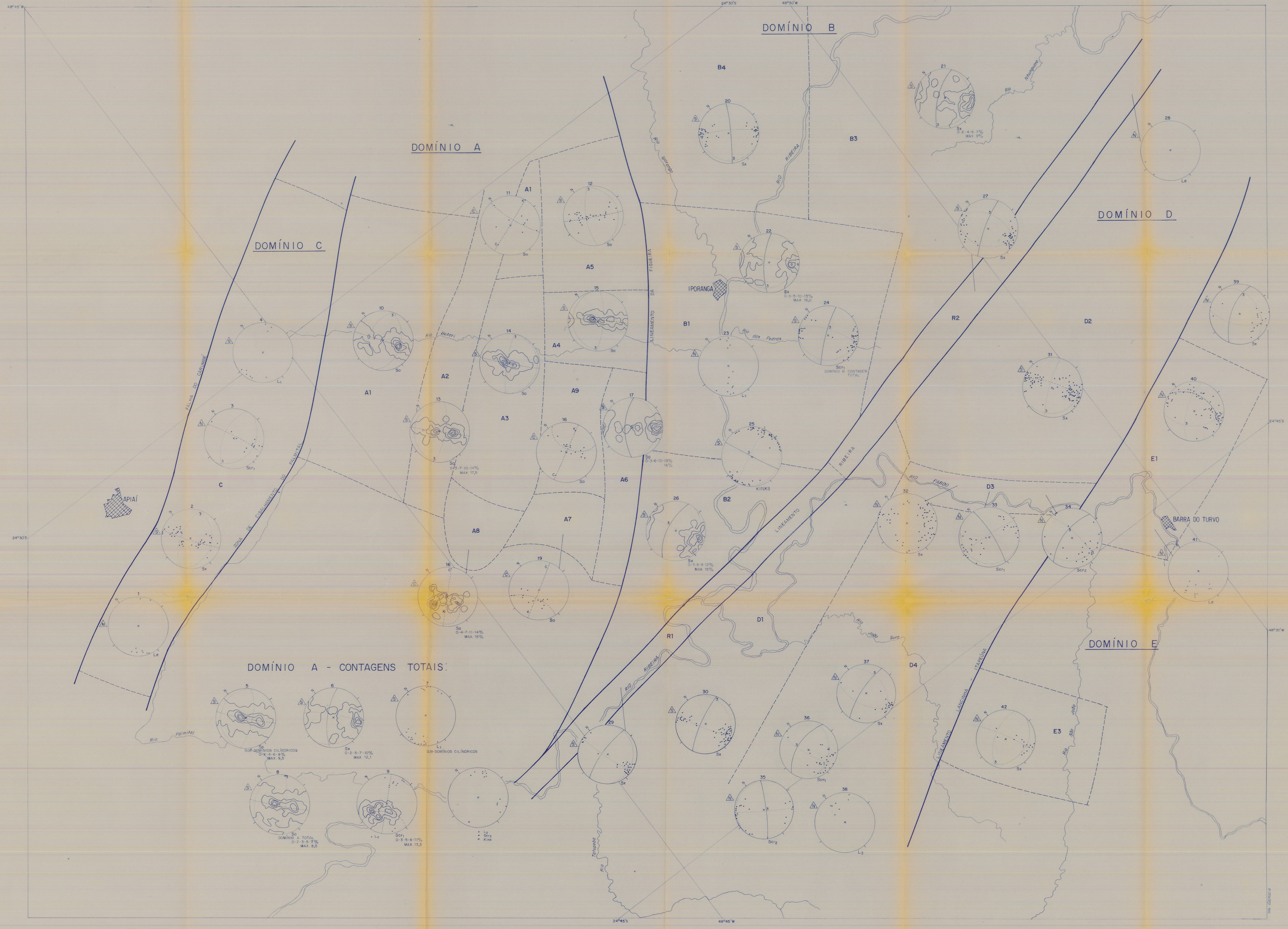
- limite geotectônico
- interseção tectônica
- zona intrínseca
- limite de corte
- limite litotectônico ou corpo
- limite de deformação



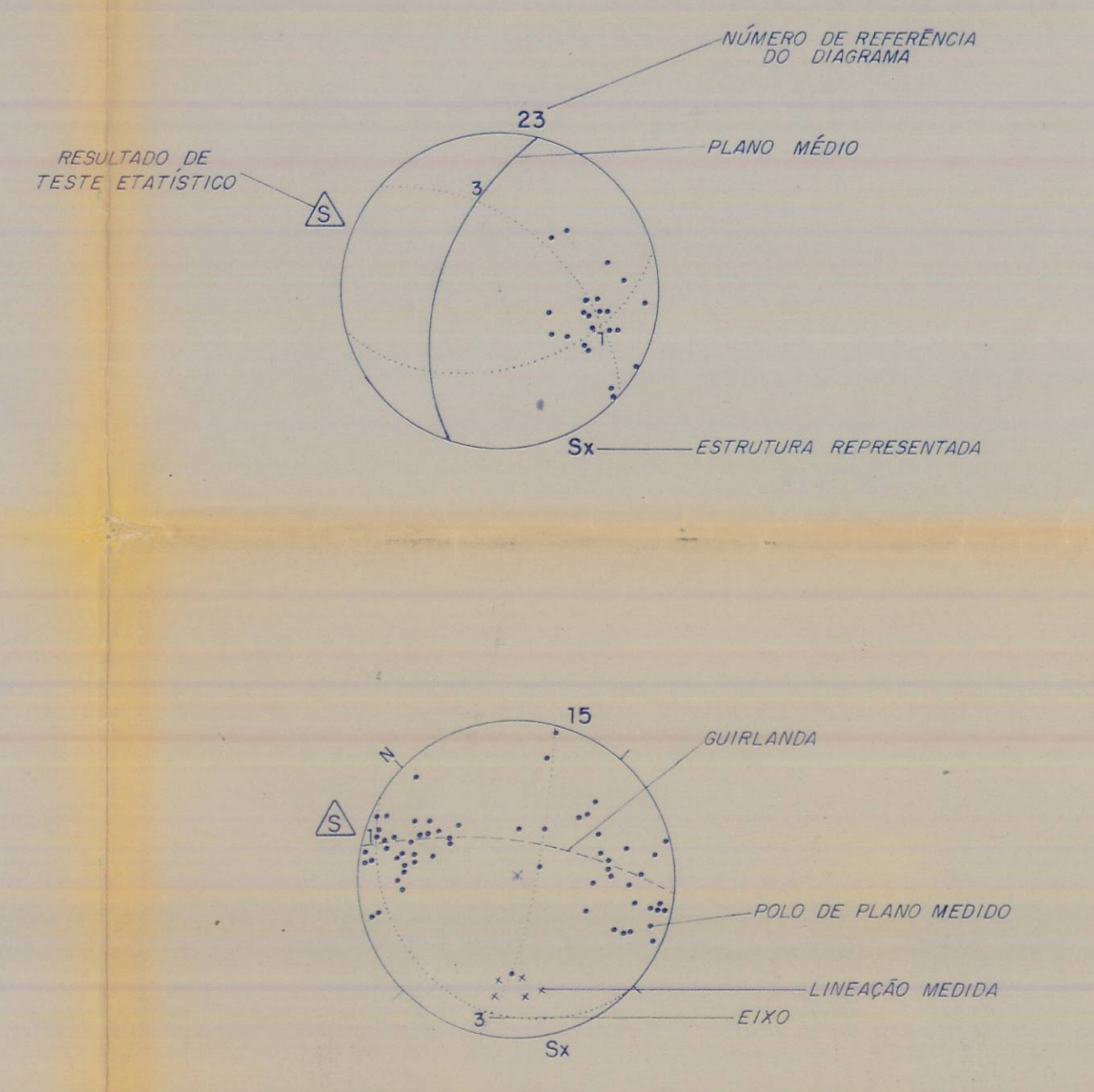
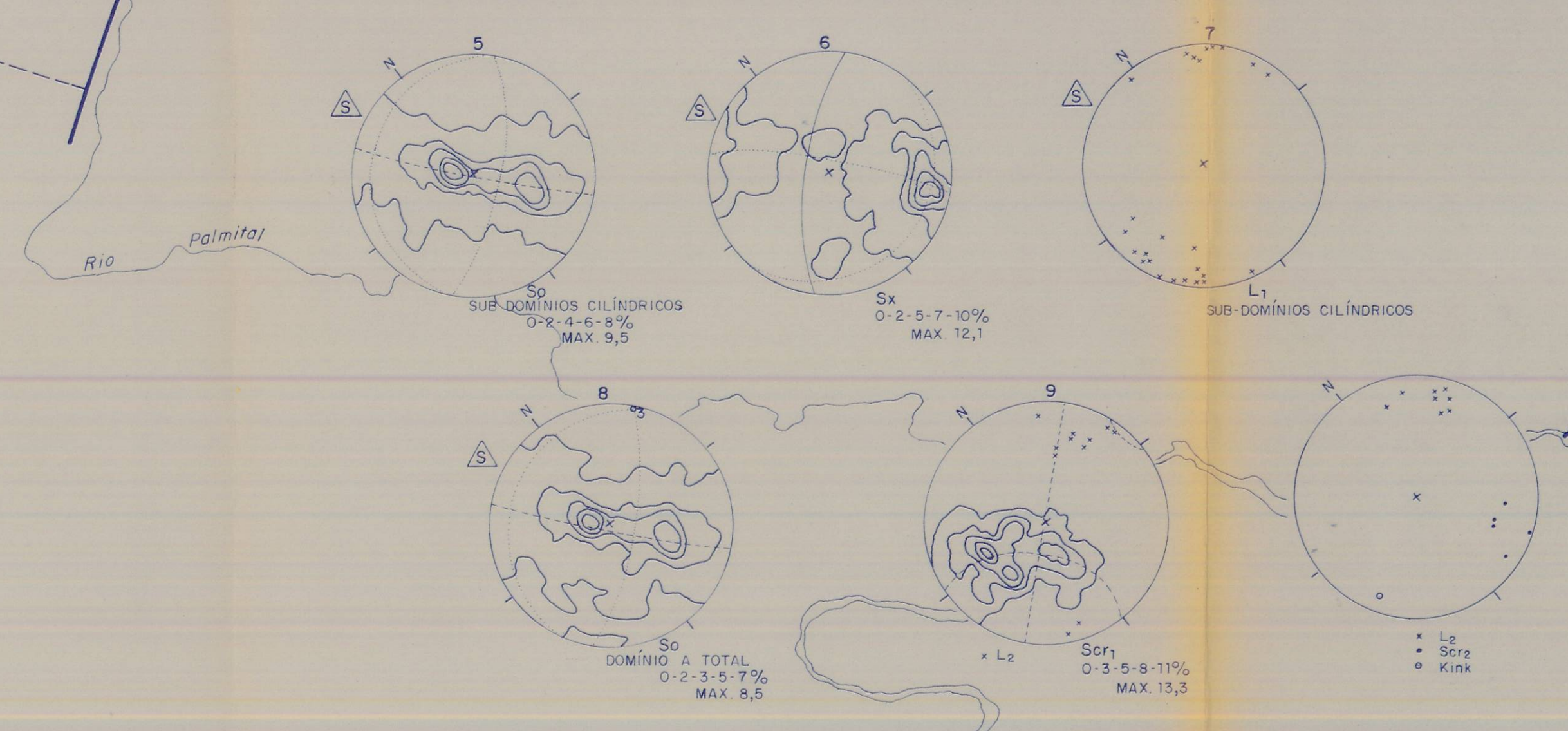
- CONVENÇÕES**
- Falha definida
 - - - Falha suposta
 - ==== Zona de cisalhamento
 - Contato definido
 - - - Contato inferido
 - · - · - Contato transicional
 - /// Foliação metamórfica
 - Sx = Xistosidade
 - Ser = Clivagem de crenulação
 - ↑ Polaridade estratigráfica (topo das camadas)
 - ⇌ Sentido do cisalhamento
 - ↪ Vergência de dobra ou de clivagem

- PARA AS DEMAIS CONVENÇÕES E LOCAÇÃO DOS PERFIS, VER MAPA GEOLÓGICO (ANEXO) -





DOMÍNIO A - CONTAGENS TOTAIS:



SÍMBOLOS ADOTADOS

- 1 Maior autovetor (orientação média).
- 3 Menor autovetor (polo da melhor guirlanda de círculo máximo).
- K Eixo de cone circular.
- c Cumeira de dobra cônica.
- So Acumetamento relictivo.
- Sx Xistofidade ou clivagem ardósiana ("S₁").
- Scr₁ Clivagem de crenulação 1 ("S₂").
- Scr₂ Clivagem de crenulação 2 ("S₃").
- L₁ Eixo de dobra ou lineação de intersecção de So com Sx.
- L₂ Eixo de dobra ou lineação de intersecção de Sx com Scr₁.
- L₃ Eixo de dobra ou lineação de intersecção de Scr₁ com Scr₂.
- Le Lineação de estratamento.
- Δ Conjunto de dados aceito no teste de existência de orientação preferencial significativa.
- Δ Conjunto de dados rejeitado no teste de existência de orientação preferencial significativa.
- Δ Domínio cônica.

